

# ФИЗИОЛОГИЯ РАСТЕНИЙ

Известия тсха. выпуск 1. 2011 год

УДК 581.132.027: [581/131+581/137]

## о причинах изотопных различий углерода гетеротрофных и автотрофных органов растений

А.А. ИВКЕБ, В.И. ПИЧУЖКИН, А.С. ПИНАЕВ, О.А. ГОНЧАРОВА

(Кафедра неорганической и аналитической химии  
рГАУ - МСХА имени К. А. Тимирязева)

Рассмотрена причина изотопных различий углерода гетеротрофных и автотрофных органов растений на основе предложенной ранее осцилляционной модели фотосинтеза. Показано, что упомянутые различия возникают как следствие фотосинтетических осцилляций, в ходе которых возникают изотопноразличающиеся углеводные фонды. Фонд изотопнотяжелых лабильных углеводов, образующихся в оксигеназной фазе осцилляций, используется и как переносчик ассимилятов из автотрофных органов растений в гетеротрофные, и как источник углеродных субстратов для роста и метаболизма последних.

**Ключевые слова:** изотопное фракционирование углерода, автотрофные и гетеротрофные организмы, фотосинтетические осцилляции.

В публикациях последних лет много внимания уделено вопросу о причинах изотопных различий автотрофных и гетеротрофных органов растений [10, 15, 16]. Впервые это обнаружил Крейг [14], отметив, что древесина ветвей несколько обогащена изотопом  $^{13}\text{C}$  относительно углерода листьев на этих ветвях. В последующем многие исследователи на разных видах растений установили, что углерод биомассы фотосинтезирующих органов (листа, хвои, стебля) незначительно, но устойчиво обогащен легким изотопом  $^{12}\text{C}$  по сравнению с углеродом гетеротрофных органов (древесины ветвей и ствола, углеродом семян, плодов, корнеплодов, корней) [2, 6–8, 21, 24, 25]. Статистическая обработка большого количества данных, собранных разными исследователями, с помощью парного t-критерия показала, что разли-

чи достоверны и в среднем составляют  $\pm 1,98\%$  (из 116 наблюдений), а диапазон вариаций — от 1 до 3%. Все сказанное относите к растениям  $\text{C}_3$ -типа. Однако немногочисленные данные по  $\text{C}_4$ -растениям обнаруживают ту же тенденцию [18]. Правда, различия оказались значительно меньше. Например, для 10 наблюдений утяжеление углерода корней по сравнению с листом составило в среднем 0,1% [6], а в случае  $\text{C}_4$ -травы *Saccharum spontaneum* L. наблюдалась даже инверсия [12].

Из других фактов, обнаруженных в этих исследованиях, следует отметить, что обсуждаемые различия между углеродом листьев и углеродом древесины ветвей дерева, откуда были отобраны листья, меняются по высоте кроны. Самые большие различия на верху кроны. К низу кроны различия уменьшаются. Различия

прослеживаются даже между углеродом биомассы паразитов, обитающих в листве и древесине деревьев, и углеродом листа [13, 28].

Подавляющее большинство исследователей при объяснении рассматриваемых фактов опиралось на стационарную модель изотопного фракционирования углерода в клетке, предложенную О'Лири [23], Фаркуаром и др. [11] и Фогелем [27]. Основное допущение модели сводилось к тому, что все процессы в клетке листа происходят одновременно и не зависят от времени. Следствием был вывод о том, что все изотопные различия, в частности, обогащение биомассы гетеротрофной части растения изотопом  $^{13}\text{C}$ , возникают в постфотосинтетических процессах [15, 16, 26]. Вывод обосновывался тем, что в стационарных процессах в условиях фотосинтеза двух изотопно-различающихся потоков углеродных субстратов возникнуть не может, так как в цикле Кальвина, где потоки перемешиваются, различия обязательно исчезли бы. Следовательно, из листа на питание гетеротрофных органов идет углеродный поток с некоторым постоянным обогащением «легким» изотопом относительно асимилируемого  $\text{CO}_2$ .

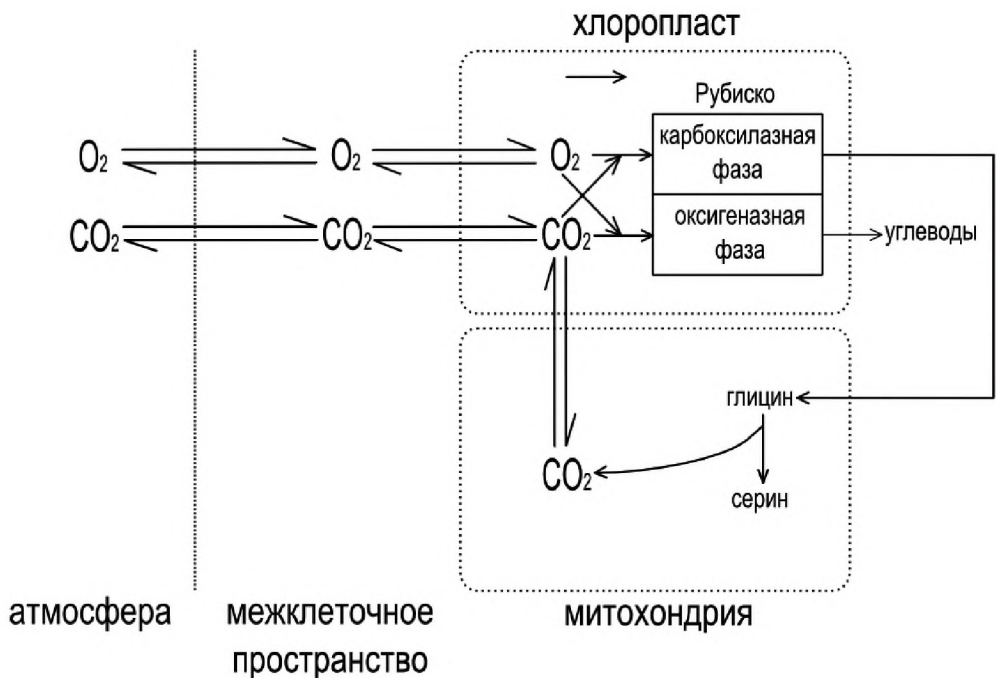
Причины обогащения гетеротрофных органов выдвигались разные, начиная с разного биохимического состава автотрофных и гетеротрофных органов и конча фракционированием изотопов при транспорте ассимилилов из листа в гетеротрофные органы. Среди других причин предлагали разное фракционирование изотопов углерода при дыхании на свету и в темноте, суточные вариации субстрата роста (сахарозы), особый путь асимиляции  $\text{CO}_2$  гетеротрофными органами (через ФЕП-карбоксилование). При анализе этих гипотез авторы признали, что, объясняя одни факты, они входят в противоречие с другими. Кроме того, реального конкретного механизма изотопного фракционирования в

предполагаемых процессах авторы не предлагали.

Ранее отмечалась неадекватность стационарной модели фотосинтеза фактическим данным [4] и была предложена альтернативная осцилляционная модель [1, 3, 19, 20]. Согласно этой модели, фотосинтез представляет собой осцилляционный процесс, в котором одной фазой колебаний является асимиляция  $\text{CO}_2$ , соответствующая карбоксилазной фазе функционирования Рубиско (основного фермента фотосинтеза), другой фазой колебаний является фотодыхание, соответствующее оксигеназной фазе работы Рубиско (рис. 1).

Принципиально, что, как следует из модели, в каждой из фаз осцилляций возникают углеводные фонды, которые имеют разный изотопный состав. Фонд углеводов, образующийся в карбоксилазной фазе, обогащен изотопом  $^{12}\text{C}$  по сравнению с фондом углеводов, возникающим в оксигеназной фазе. Эти фонды используются растением на различные нужды. Углеводы карбоксилазной фазы откладываются в фонд, который в fazu гликолиза питает гликолитическую цепь. Углеводы фонда, образующегося в оксигеназную fazu, частично расходуются на собственно фотодыхание. Другая часть используется на образование лабильных углеводов, из которых в темноте образуются органические кислоты. Часть тратится на продукты фотодыхания (пролин, гликолевая кислота, оксалаты и др.). Лабильные углеводы (сахароза) используются растением в качестве транспортного агента и для обеспечения роста и метabolизма гетеротрофных органов растений.

Таким образом, согласно модели, изотопные различия автотрофных и гетеротрофных органов растений являются следствием осцилляционного характера фотосинтеза. Разный изотопный состав фондов в конечном счете обусловлен различием знаков



**Рис. 1.** Схема, иллюстрирующая осцилляционную модель фотосинтеза.

Ключевой фермент фотосинтеза Рубиско. При высоких концентрациях  $CO_2/O_2$  в клетке стимулируется карбоксилазная функция фермента и ингибитируется оксигеназная.

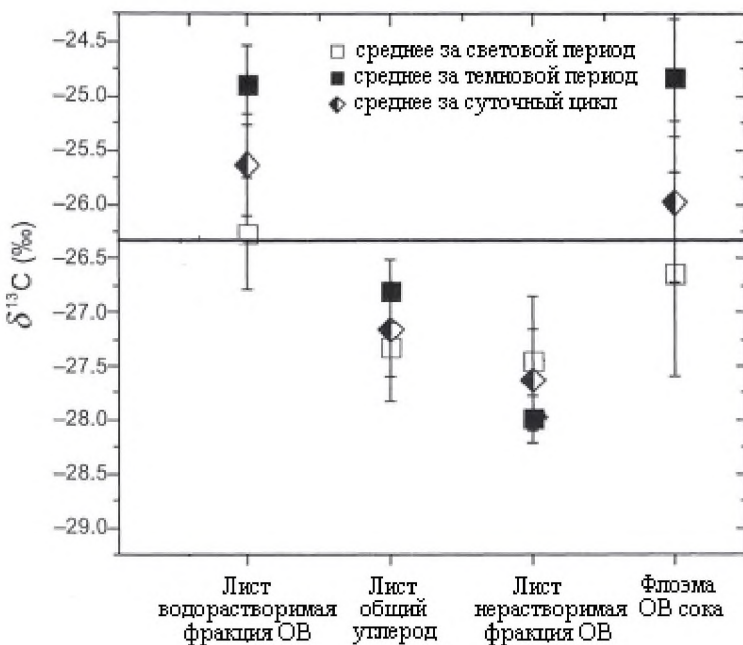
При низких концентрациях  $CO_2/O_2$ , в клетке, наоборот, стимулируется оксигеназная функция фермента и ингибитируется карбоксилазная

изотопных эффектов, возникающих в разных фазах осцилляций.

Важно также отметить, что в клетке в силу колебаний существует строгая временная последовательность метаболических процессов. В силу этого накопленные при фотосинтезе фонды расходуются не только для разных нужд, но и в различные временные отрезки. Поэтому, проходя даже через те же отрезки метаболических путей, углеродные потоки не перемешиваются и изотопные различия сохраняются.

В подтверждение такого механизма фотосинтеза рассмотрим данные Гессслера и коллег [15], представленные на рисунке 2. На нем представлен суточный диапазон вариаций изотопного состава углерода водораствори-

мого и нерастворимого органического вещества листа, суммарного углерода биомассы листа и углерода сока флоэмы, переносящего накопленные в листе органические вещества к гетеротрофным органам растени. Видно, что нерастворимая фракция биомассы листа обогащена изотопом  $^{13}C$  относительно углерода водорастворимой фракции органического вещества листа. Осцилляционная модель объясняет это тем, что нерастворимая часть листа — это в основном фракция, содержащая липидные, протеиновые и другие компоненты, синтез которых происходит в гликолитической цепи с использованием углеводного фонда, запасаемого в карбоксилазную фазу, т.е. обогащенного изотопом  $^{13}C$ . Водорастворимые углеводы, включая саха-



**Рис. 2.** Изотопный состав общего углерода листа и его водорастворимой и нерастворимой органической фракции, а также углерода сока флюэмы, усредненный за световой период (1), темновой период (2) и за полный суточный цикл (3).

Рисунок взят из работы [15] и модифицирован

розу, образуются из фонда, который накапливается в оксигеназную фазу, а следовательно, углерод фонда обогащен изотопом  $^{13}\text{C}$ . Как известно, сахароза является основным транспортным агентом в растениях [5], что, в свою очередь, объясняет обогащенность «тяжелым» изотопом углерода сока флюэмы и приблизительно одинаковый диапазон суточных вариаций изотопного состава углерода у сока флюэмы и водорастворенного органического вещества листа.

Другой аргумент в пользу приведенной интерпретации изотопных различий автотрофных и гетеротрофных органов растений состоит в следующем, в работе [1] проводилось сопоставление внутримолекуларного изотопного распределения глюкозы крахмала запасающих органов ряда растений (кукурузы, пшеницы, картофеля, гороха, капусты).

изученных экспериментально, с распределением, полученным путем теоретического моделирования. При теоретическом моделировании распределение изотопов углерода для глюкозы (Г6Ф), синтезируемой в карбоксилазной фазе осцилляций, показано, что оно характеризуется приблизительно равномерным распределением  $^{13}\text{C}$  вдоль скелета молекулы. Для глюкозы оксигеназной фазы распределение неравномерно и характеризуется отчетливой яностью в положениях C-3 и C-4 атомов и облегчением атомов к концам молекул. Самыми «легкими» оказались атомы в положениях C-1 и C-6. Аналогичным с распределением в оксигеназной глюкозе оказалось распределение глюкозы крахмала запасающих органов, в силу вышеизложенного этого и следовало ожидать, поскольку запасающие органы относятся к гетеротрофным органам

растении, для которых источником углерода являются углеводы, синтезируемые из оксигеназной глюкозы. Именно утяжеленность атомов в положениях С-3 и С-4 обуславливает «тяжелый» изотопный состав общего углерода молекулы. При этом степень «утяжеленности» определяется интенсивностью фотодыхания.

Градиент изотопного состава углерода листвы по высоте кроны, отмеченный в упор нутых выше работах, также легко объясним с помощью осцилляционной модели. В самом деле, вверху кроны интенсивность падающего излучения максимальна и снижается книзу. Интенсивность света усиливает фотодыхание, которое, в свою очередь, вызывает изотопное утяжеление продуктов фотодыхания, а вместе с ними и биомассы листа [8].

Столь же просто модель объясняет факт различия изотопного состава углерода листвы и биомассы паразитов, питающихся древесиной или

плодами растений, т.е. углеродом гетеротрофных частей. Углерод биомассы консументов (которые относятся к гетеротрофам) близок по изотопному составу к углероду листвы и потому отражает изотопные различия гетеротрофных и автотрофных частей растени-хозина.

Таким образом, осцилляционная модель объясняет природу различий гетеротрофных и автотрофных органов растений существованием фотосинтетических осцилляций, в ходе которых образуются два изотопноразличающихся фонда углеводов. Обогащенный изотопом  $^{13}\text{C}$  фонд углеводов, образующийся в оксигеназной фазе осцилляций, используется растением для переноса ассимилированных из автотрофных органов к гетеротрофным, а также для роста и метаболизма последних. Вывод подтверждается экспериментальными данными, полученными независимыми исследователями.

### Библиографический список

1. Ивлев А. А. О колебательной природе углеродного метаболизма в фотосинтезирующей клетке. Аргументы и факты. Известия РАН. Сер. Биологическая. 2010. Т. 37. № 3 С. 261-270.
2. Ивлев А.А., Пичужкин В.И., Князев Д.А. Изменения изотопного состава углерода органов пшениц в онтогенезе и их возможная связь с фотодыханием растений // Физиология растений, 2001. Т. 46. № 4. С. 517-526.
3. Ивлев А.А. О потоках «лёгкого» и «тяжёлого» углерода при сопряжении фотосинтеза и фотодыхания//Физиология растений, 1993. Т. 40. С. 871-878.
4. Ивлев А.А. Распределение изотопов углерода ( $^{13}\text{C}/^{12}\text{C}$ ) в клетке и временная организация клеточных процессов//Биофизика, 1991. Т. 36. С. 1060-1078.
5. Курсстов А.А. Транспорт ассимилятов в растении. М.: Наука, 1976.
6. Badeck F.-W., Tcherkez G., Nogues S., Piel C., Ghashghaei J. Post-photosynthetic fractionation of stable carbon isotopes between plant organs — a widespread phenomenon // Rapid Commun. Mass Spectrom, 2005. V. 19. P. 1381-1391.
7. Batheller C., Badeck F.-W., Couzi Ph., Harscoet S., Mauve C. Divergence in  $^{13}\text{C}$  of dark respiration  $\text{CO}_2$  and bulk organic matter occurs during transition between heterotrophy and autotrophy in *Phaseolus vulgaris* plants // New Phytologist, 2008. V. 177. P. 406-418.
8. Borland A.M., Griffiths H., Broadmeadow M.S., Fordham M.C., Maxwell C. Carbon Isotope Composition of Biochemical Fractions and the Regulation of Carbon Balance in Leaves of the  $\text{C}_3$ -Crassulacean Acid Metabolism Intermediate *Clusia minor* L. Growing in Trinidad//Plant Physiol., 1994. V. 105. P. 493-501.
9. Carbone M.S., Trumbore S.E. Contribution of new photosynthetic assimilates to respiration by perennial grasses and shrubs: residence times and allocation patterns //New Phytologist, 2007. V. 176. P. 124-135.

10. Cernusak L.A., Tcherkez G., Keitel C., Cornwell W.K., Santiago L.S., Knob A., Barbour M.M., Williams D.G., Reich P.B., Ellsworth D.S., Dawson T.E., Griffiths H.G., Farquhar G.D., Wright I.J. Why are non-photosynthetic tissues generally  $^{13}\text{C}$  enriched compared with leaves in C<sub>3</sub> plants? Review and synthesis of current hypotheses // *Fund Plant Biology*, 2009. V. 36. P. 199-213.
11. Farquhar G.D., O'Leary M.H., Berry J.A. On the relationship between carbon isotope discrimination and intercellular carbon dioxide concentration in leaves // *Aust.J.Plant Physiol.*, 1982. V. 9. P. 121-137.
12. Cernusak L.A., Aranda J., Marshal G.D., Winter K. Large variations in whole-plant water-use efficiency among tropical tree species // *New Phytologist*, 2007. V. 173. P. 294-305.
13. Cernusak L.A., Pate J.S., Farquhar G.D. Oxygen and carbon isotope composition of parasitic plants and their hosts in southwestern Australia // *Oecologia*, 2004. V. 139. P. 199-213.
14. Craig H. The geochemistry of stable carbon isotopes // *Geochim. et Cosm. Acta*, 1953. V. 3. P. 53-92.
15. Gessler A., Tcherkez G., Peuke A.D., Ghashghaie J.G., Farquhar G.D. Experimental evidence for diel variations of the carbon isotope composition in leaf, stem and phloem sap organic matter in *Ricinus communis* // *Plant, Cell Environ.*, 2008. V. 31. P. 941-953.
16. Gessler A., Keitel C., Kodama N., Weston Ch., Winters A.J., Keith H., Grice K., Leuning R., Farquhar G. D.  $^{13}\text{C}$  of organic matter transported from the leaves to the roots in *Eucalyptus delegatensis*: short-term variations and relation to respiration  $\text{CO}_2$  // *Funct Plant Biology*, 2007. V. 34. P. 692-706
17. Gleixner G., Danier H.G., Werner R.A., Schmidt H.-L. Correlation between the  $^{13}\text{C}$  content of primary and secondary products in different cell compartments and that in decomposing basidiomycetes//*Plant Physiology*, 1993. V. 102. P. 1287-1290.
18. Hobbie E.A., Werner R.A. Intramolecular, compound-specific, and bulk carbon isotope patterns in C<sub>3</sub> and C<sub>4</sub> plants: a review and synthesis // *New Phytologist*, 2004. V. 161. P. 371-385.
19. Lvlev A.A. Carbon isotope effect as a tool to study photosynthesis // Chemical probes in biology / ed. M.P. Schneider. Kluwer Academic Publishers. Netherlands, 2003. P. 269-285.
20. Lvlev A.A., Lgamberdiev A.Y., Dubinsky A.Yu. Isotopic composition of carbon metabolites and metabolic oscillations in the course of photosynthesis // *Biophysics*, 2004. V. 49. Suppl. 1. P. 3-16.
21. Leavitt S.W., Long A. Stable carbon isotope variability in tree foliage and wood // *Ecology*, 1986. V. 67. P. 1002-1010.
22. Leavitt S.W., Long A. Evidence for  $^{13}\text{C}/^{12}\text{C}$  fractionation between tree leaves and wood//*Nature*, 1982. V. 298. P. 742-744.
23. O'Leary M.H. Carbon isotope fractionation in plants // *Phytochemistry*, 1981. V. 20. P. 553-567.
24. Park R., Epstein S. Carbon isotope fractionation during photosynthesis // *Geochim et Cosmochim. Acta*, 1960. V. 21. P. 110-119.
25. Schleser G.H.  $^{13}\text{C}$  pattern in a forest tree as an indicator of carbon transfer in trees // *Ecology*, 1992. V. 73. P. 1922-1925.
26. Terwilliger V.J., Huang J. Heterothrophic whole plant tissue show more  $^{13}\text{C}$  — enrichment than their carbon source//*Phytochemistry*, 1996. V. 43. P. 1183-1188.
27. Vogel J.C. Variability of Carbon Isotope Fractionation during Photosynthesis// Stable isotopes and plant carbon — water relations / Eds Ehleringer J.R., Hall A.E., Farquhar G.D. San Diego — Boston, 1993. P. 29-46.

28. Ziegler H. Deuterium content in organic material of hosts and their parasites.  
// In: "Ecophysiology of photosynthesis"/ Eds. E.D. Schultze, M. Caldwell, 1994.  
PP. 393-408. 1994. Berlin, Springer-Verlag.

## SUMMARY

The cause of carbon isotopic distinctions of both autotrophic and heterotrophic plant organs on the base of earlier oscillation concept has been considered. It has been discovered that above-mentioned distinctions occur as a result of photosynthetic oscillations. In the course of these oscillations isotopically different carbohydrate pools are formed. The pool of  $^{13}\text{C}$  enriched carbohydrates derived in oxygenase phase of oscillations is used as transport agent of assimilates from autotrophic plant organs to heterotrophic ones, as well as a carbon substrate source for both growth and metabolism.

*Key words:* Carbon isotope fractionation, photosynthetic oscillations, autotrophic and heterotrophic organisms.

Ивлев Александр Андреевич — д. с.-х. н. Эл. почта: aaivlev@list.ru

Пичужкин Вадим Иванович — к. х. н.

Пинаев Александр Сергеевич — аспирант кафедры неорганической и аналитической химии РГАУ - МСХА имени К. А. Тимирязева

Гончарова Оксана Владимировна — студентка 3-го курса РГАУ - МСХА имени К.А. Тимирязева